



中国耳鼻咽喉头颈外科

ZHONGGUO ER BI YANHOU TOUJING WAIKE

CHINESE ARCHIVES OF
OTOLARYNGOLOGY-HEAD AND NECK SURGERY

2017年8月 第24卷
August 2017, Vol.24, No.8

论著

17-AAG联合EGCG对人鼻咽癌细胞株增殖和凋亡的影响及机制研究 庞秋霞等

耳模矫正器治疗先天性耳廓形态畸形疗效 简炳权等

前庭诱发肌源性电位对前庭下神经炎的诊断价值 郭莉等

慢性鼻-鼻窦炎变应原特征初步探讨 黄成志等

Epworth嗜睡量表联合家庭便携式睡眠监测诊断成人阻塞性睡眠呼吸暂停综合征 王小轶等

危重气管支气管异物患儿救治 温鑫等

第 8 期

ISSN 1672-7002



08>

9 771672 700178



扫描
官方微信
二维码

万方数据

中华人民共和国国家卫生和计划生育委员会主管
中国医疗保健国际交流促进会 北京市耳鼻咽喉科研究所主办

目 次

第24卷, 第8期, 2017年8月28日出版

论 著

- 385 17-AAG联合EGCG对人鼻咽癌细胞株增殖和凋亡的影响及机制研究**
庞秋霞, 何静子, 赵菊梅, 许静洪, 王爱红, 陈美霓, 刘涛

- 391 耳模矫正器治疗先天性耳廓形态畸形疗效**
简炳权, 杨海弟, 郑亿庆, 张志钢, 陈穗俊

- 396 脱细胞真皮基质与颤肌筋膜在I型鼓室成形术中的临床疗效分析**
付晓燕, 苏悦嘉, 冯晓华, 陈亮, 熊敏

- 399 锥骨环韧带固定对中耳传声的影响——有限元模型研究**
陈树斌, 王杰

- 402 前庭诱发肌源性电位对前庭下神经炎的诊断价值**
郭莉, 芦二永, 张超

- 405 慢性鼻-鼻窦炎变应原特征初步探讨**
黄成志, 汪建, 陈勇挺, 彭华

- 409 鼻肉芽肿性多血管炎IgG4免疫组织化学观察**
朴颖实, 刘红刚

- 413 医院焦虑抑郁量表在耳鼻咽喉科患者中的应用分析**
杨川, 张素素, 赵菊梅, 刘涛

- 417 Epworth嗜睡量表联合家庭便携式睡眠监测诊断成人阻塞性睡眠呼吸暂停综合征**
王小轶, 徐文, 杨庆文, 丁秀, 李鸿光, 韩德民

- 422 危重气管支气管异物患儿救治**
温鑫, 宋英弯, 王娟, 史静, 苏金柱, 史雅楠

387

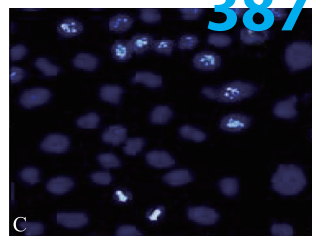


图2 17-AAG联合EGCG作用CNE细胞48 h细胞形态变化。C EGCG 60 mg/L, Hoechst 33258荧光染色×400

408

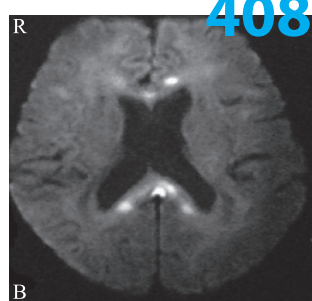


图1 B MRI示胼胝体多发斑片状高信号影, 边缘模糊

目 次

第24卷, 第8期, 2017年8月28日出版

临床经验

425 良性对称性脂肪瘤病

樊华, 李敏, 覃泰杰, 瞿申红, 叶林松, 李凤提

427 耳后带蒂肌骨膜瓣及自体骨粉在开放式乳突根治术腔填塞术中的应用研究

董昌华, 毛华杰, 赵波

429 游离下鼻甲黏膜瓣在预防鼻中隔术后穿孔中的应用

丁锋, 刘艳

431 鼻内镜联合改良柯陆手术治疗难治性鼻-鼻窦炎的临床效果对比研究

李四军, 常艺琼, 潘庆春, 徐开伦, 高水超, 唐嗣泉

433 首诊于耳鼻咽喉科的复发性多软骨炎临床特征分析

方玉婷, 徐丽萍

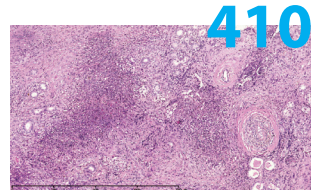


图2 地图样坏死, 闭塞性血管炎, 灶状胶原纤维化, HE×10

病例报道

390 先天性甲状腺功能减退患儿扁桃体切除术后出血1例

刘文君, 杨珂, 吕丹, 于雪莹, 梅栩彬

408 伴有神经系统损害的多发性对称性脂肪瘤病1例

钱建同, 何建华

435 多组颅神经受累的不典型Ramsay-Hunt综合征2例

范志涛, 田永涛, 王学霞, 王春华

437 右侧上颌窦炎性肌纤维母细胞瘤1例

王健艳, 边迪, 金春顺, 刘丹青, 柴贵娟, 郭颖媛, 赵明

439 误诊为喉咽部肿物的食管型颈椎病1例

刘慧茹, 金杰, 卢晓玲, 裴轶辉, 宋大川, 董晶

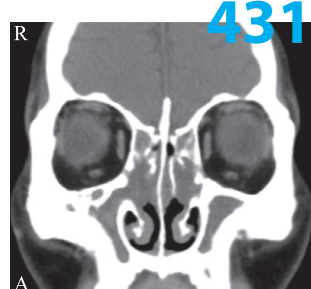


图1 鼻窦CT冠状位, 双侧上颌窦及筛窦处见软组织密度影, 密度不均匀。A 受累鼻窦外侧壁见明显骨质增生、硬化现象

消 息

389 《中国耳鼻咽喉头颈外科》、《国际耳鼻咽喉头颈外科杂志》网络远程投稿 审稿系统使用说明

395 2017年本刊直接使用缩略语的医学词汇

Contents

Volume 24, Number 8, August 28, 2017

Original Articles

- 385 Effect and mechanism of heat shock protein inhibitors on cell proliferation and apoptosis in human nasopharyngeal carcinoma**
PANG Qiuxia, HE Jingzi, ZHAO Jumei, XU Jinghong, WANG Aihong, CHEN Meini, LIU Tao
- 391 Effectiveness of ear molding in the treatment of congenital auricular deformation**
JIAN Bingquan, YANG Haidi, ZHENG Yiqing, ZHANG Zhigang, CHEN Suijun
- 396 Clinical analysis of curative effect of acellular dermal matrix contrast with temporalis fascia in type I tympanoplasty**
FU Xiaoyan, SU Yuejia, FENG Xiaohua, CHEN Liang, XIONG Min
- 399 Effects of fixation of stapes footplate on the middle ear transfer function using a finite element ear model**
CHEN Shubin, WANG Jie
- 402 Value of vestibular evoked myogenic potential on the diagnosis of inferior vestibular neuritis**
GUO Li, LU Eryong, ZHANG Chao
- 405 Preliminary study of allergen features in chronic rhinosinusitis**
HUANG Chengzhi, WANG Jian, CHEN Yongting, PENG Hua
- 409 IgG4 immunohistochemistry in granulomatosis with polyangiitis**
PIAO Yingshi, LIU Honggang
- 413 Application of the hospital anxiety and depression scale among the inpatients of otolaryngology**
YANG Chuan, ZHANG Susu, ZHAO Jumei, LIU Tao
- 417 Value of Epworth sleepiness scale combined with home-based portable monitoring in the diagnosis of obstructive sleep apnea syndrome in adult patients**
WANG Xiaoyi, XU Wen, YANG Qingwen, DING Xiu, LI Hongguang, HAN Demin
- 422 Treatment experience of critical children with tracheobronchial foreign body**
WEN Xin, SONG Yingluan, WANG Juan, SHI Jing, SU Jinzhu, SHI Yanan